

4. Скороход В. В. Реологические основы теории спекания.—Киев: Наук. думка, 1972.—149 с.
5. Смоляков В. К. Горение гетерогенных систем, образующих конденсированные продукты, в условиях макроструктурных превращений.—Тюмень, 1990.—44 с.—Деп. в ВИНИТИ 27.06.1990, № 3672-В90.
6. Алдушин А. П., Ивлева Т. П. и др. Распространение фронта горения в пористых металлических образцах при фильтрации окислителя // Процессы горения в химической технологии и металлургии.—Черноголовка, 1975.—С. 245—252.
7. Гольдштик М. А. Процессы переноса в зернистом слое.—Новосибирск: ИТФ СО АН СССР, 1984.—163 с.
8. Франк-Каменецкий Д. А. Диффузия и теплопередача в химической кинетике.—М.: Наука, 1967.—492 с.
9. Смоляков В. К. Влияние структурных изменений на горение прессовок металлических порошков в газе // ФГВ.—1988.—24, № 3.—С. 18—26.
10. Филоненко А. К., Бунин В. А., Вершинников В. И. Особенность зависимости скорости горения от диаметра для некоторых безгазовых составов // Хим. физика.—1982.—№ 2.—С. 260—264.

г. Новокузнецк

Поступила в редакцию 16/IV 1991,  
после доработки — 8/VIII 1991

УДК 536.46 : 532.5 : 621.762

Л. М. Бучацкий, С. И. Худяев, Г. В. Шкадинская

## НЕСТАЦИОНАРНЫЕ ОСОБЕННОСТИ ГОРЕНИЯ ПОРОШКОВОГО МАТЕРИАЛА В УСЛОВИЯХ ПРЕССОВАНИЯ

Численно решается сформулированная задача о распространении волны горения по пористому порошковому материалу, находящемуся под внешним механическим давлением. Показаны возможности существования различных типов волны изменения пористости, распространяющейся вслед за волной горения. Пористость в такой волне в зависимости от отношения характерных времен реакции и уплотнения может возрастать, уменьшаться, иметь один или два экстремума, поэтому возможны различные типы структуры волны изменения вязкости. При малых давлениях наблюдается режим «отрыва» в пространстве процесса уплотнения от быстро бегущей тепловой волны. Установлен факт стабилизации неустойчивого горения приложением внешнего постоянного во времени давления.

Настоящая работа посвящена численному исследованию задачи о распространении волны горения по порошковому материалу, находящемуся под внешним давлением. Подробно описанная в [1] формулировка модели учитывает наиболее существенные черты изучаемого процесса: изменение реологического поведения исходной пыли и продуктов реакции в различных температурных зонах, зависимость этих свойств, а также теплопроводности  $\lambda$  и плотности  $\rho$  образца от пористости, малость критериев  $Le$  и  $Re$ . С учетом сделанных предположений и допущений система уравнений для расчетов выглядит следующим образом:

$$c\rho \frac{\partial T}{\partial \tau} = \frac{\partial}{\partial z} \left( \lambda \frac{\partial T}{\partial z} \right) - c\rho v \frac{\partial T}{\partial z} + Q\Phi(a, T), \quad (1)$$

$$\frac{\partial}{\partial \tau} (a\rho) + \frac{\partial}{\partial z} (a\rho v) = -\Phi(a, T) = -k_0 \exp \left( -\frac{E_1}{RT} \right) \varphi(a), \quad (2)$$

$$\frac{\partial \rho}{\partial \tau} + \frac{\partial}{\partial z} (\rho v) = 0, \quad (3)$$

$$\frac{\partial \sigma_z}{\partial z} = 0, \quad (4)$$

$$\sigma_z = \eta(a, T) \frac{\partial v}{\partial z}, \quad (5)$$

$$\rho = (1 - \Pi) [a/R_1 + (1 - a)/R_2]^{-1}, \quad (6)$$

$$\lambda = \lambda_0 \psi(\Pi); \psi(\Pi) = (1 - \Pi + \Pi_0)^{\alpha} - \Pi_0, \quad (7)$$

$$\eta = \eta_0 \exp \left( \frac{E_2}{RT} \right) f\Pi, \quad f(\Pi) = \frac{(1 - \Pi + \Pi_0)^m - \Pi_0}{(1 - \Pi)(\Pi/\Pi_0)^h}$$

с начальными и граничными условиями

$$\begin{aligned} t = 0 : H &= H_0, \Pi = \Pi_0, a = 1, T = T_0, \\ z = 0 : a &= 1, T = T_0, v = 0, \\ z = H : a &= 0, \partial T / \partial z = 0, \sigma_z = -N. \end{aligned} \quad (8)$$

В (1)–(8)  $T$  — температура;  $\tau$  — время;  $c$  — теплоемкость;  $Q$  — тепловой эффект реакции;  $E_1$  — энергия активации;  $k_0$  — предэкспонент;  $K$  — универсальная газовая постоянная;  $\lambda_0$  — теплопроводность материала в беспористом состоянии;  $\eta_0$  — константа;  $H$ ,  $H_0$  — начальная и текущая высота образца;  $E_2$  — энергия активации высокотемпературного деформирования. Константы  $\alpha$ ,  $m$ ,  $k$  полагаем целыми числами, нулевые значения какой-либо из них означают отсутствие зависимости от пористости. Выражения (7) подобраны так, чтобы  $\lambda$  и  $\eta$  не зависели от значений  $\alpha$ ,  $m$ ,  $k$  при начальной пористости  $\Pi = \Pi_0$ ;  $\sigma_z$  — осевая компонента тензора напряжений;  $\eta$  — некоторая эффективная величина (вязкость), характеризующая способность образовавшейся пористой массы сопротивляться изменениям объема и формы. Величина  $\eta$  зависит от концентрации, температуры и пористости, однако в настоящем рассмотрении, как и в [1], учитываются наиболее сильные из этих зависимостей: экспоненциальное падение с ростом температуры и резкое возрастание при приближении к беспористому состоянию.

В задаче численного анализа исходной системы (1)–(8) входило выявление нестационарных особенностей распространения волны уплотнения как в условиях устойчивого, так и неустойчивого горения, оценка влияния на этот процесс отношения энергий активации реакции и высокотемпературного деформирования  $\delta = E_2/E_1$ , порядка реакции  $n$ , степени зависимости реологических свойств от пористости ( $m$ ,  $k$ ) и других, а также проверка результатов квазистационарного приближения [1].

Для численного решения системы (1)–(8) вводили следующие безразмерные переменные и параметры:

$$\begin{aligned} \Theta &= \frac{T_* - T}{T_* - T_0}, \quad x = \frac{z}{H_0}, \quad \omega = \frac{vN}{H_0 \eta_*}, \quad \beta = \frac{RT_*}{E_2}, \\ \gamma &= \frac{RT_*^2}{(T_* - T_0) E_2}, \quad \omega = \frac{c \rho_0 w^2}{\gamma \lambda_0 k_*}, \quad \kappa = \frac{N \rho_0}{\eta_* k_*}, \\ \mu &= \rho_2 / \rho_1 - 1, \quad \eta_* = \eta_0 \exp(E_1 / RT_*), \quad k_* = k_0 \exp(-E_2 / RT_*). \end{aligned}$$

Параметр  $\alpha$  выбирался равным 0 или 1,  $k = 1$ ;  $m$  варьировали от 0 до 3.

При расчетах использована методика, изложенная в [2]. Поскольку в данной задаче имеются существенные различные характерные размеры (длина образца, ширина фронта горения и др.), применялась программа INDEX [3], реализующая алгоритм адаптирующейся к решению переменной пространственной сетки. Схема решения следующая: в начальный момент времени  $\tau = 0$  выбирается равномерная по пространству сетка с узлами  $x_1, x_2, \dots, x_n$ , в которых задаются начальные величины  $\rho^0(x_i)$ ,  $a^0(x_i)$ ,  $\Theta^0(x_i)$ ,  $\Pi^0(x_i)$  и по ним определяются  $\eta^0(x_i)$ ,  $(\partial u / \partial x)^0(x_i)$ ,  $u^0(x_i)$ . Переход от  $k$ -го временного слоя к  $(k+1)$ -му осуществляется по разностным уравнениям и формулам, аппроксимирующими систему дифференциальных уравнений и запись которых не представляет особых трудностей. Шаг по времени выбирался из условия малости изменения быстро меняющихся от слоя к слою функций  $a_i$  и  $\rho_i$ . Сначала решается уравнение для  $\rho$ , в котором  $\eta$  берется с нижнего  $k$ -го слоя, затем для  $a$ , где  $\Theta$  берется также с нижнего слоя, после этого находятся пористость  $\Pi$  и подвижная координата  $x$  на  $(k+1)$ -м слое, затем вычисляются температура  $\Theta_i^{k+1}$ , вязкость  $\eta_i^{k+1}$ , градиент скорости  $(\partial u / \partial x)_i^{k+1}$  и скорость  $u_i^{k+1}$ .

Отметим прежде всего, что численные расчеты в широком диапазоне значений параметров модели подтвердили основные результаты качественного анализа квазистационарного приближения, проведенного в [1].

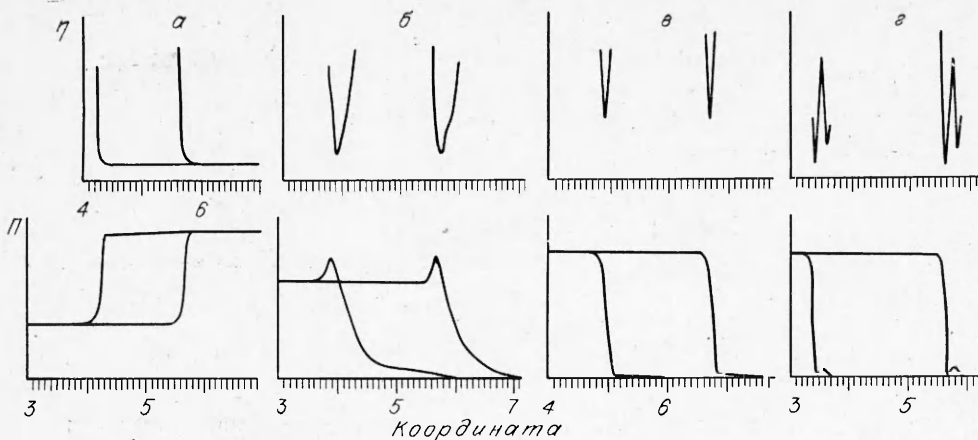


Рис. 1. Пространственные профили пористости и вязкости для двух моментов времени при различном внешнем давлении в режиме «управления»;  $\alpha = 0$  (а), 0,1 (б), 1,0 (в), 10 (г).

Описанные структуры волны изменения пористости (с возрастанием, убыванием или с экстремумом) нашли подтверждение в расчетах при не очень больших и не очень малых значениях  $\alpha$ . Причем тип волны точно определяется соотношением (23) из [1] между  $\alpha$  и  $\mu$ :

$$\alpha < \mu / (\mu + 1).$$

Вместе с тем расчеты позволили дополнить картину, поскольку значения пористости не были ограничены только зоной горения, а рассчитывались по всей длине образца.

На рис. 1 для двух соседних моментов времени приведены различные типы структур волны изменения пористости, распространяющейся вдали от границ образца с постоянной скоростью. С увеличением приложенного давления возрастающая в зоне реакции пористость приобретает сначала максимум (рис. 1, б), затем переходит в монотонно убывающую (рис. 1, в) и при больших  $\alpha$  при выходе из зоны горения отмечается очень небольшой локальный максимум (рис. 1, г). Появление последнего объясняется, по-видимому, тем, что большое давление очень быстро «задавливает» образующуюся в результате реакции пористость (напомним, что рассматривается случай более плотных продуктов реакции по сравнению с исходной шихтой:  $\mu > 0$ ). Однако этот процесс самозамедляется вследствие очень сильного возрастания сопротивления сжатию (объемной вязкости) при малых значениях пористости. В этот момент и происходит ее незначительное возрастание. За зоной реакции, когда источник образования пористости отсутствует, она вновь уменьшается.

На рис. 1 показаны возможные пространственные профили значений эффективной вязкости  $\eta$ . Левая ветвь кривой отвечает падению сопротивления деформированию в силу резкого возрастания температуры. Правая ветвь относится к практически изотермическому процессу и отражает зависимость реологических свойств от пористости  $\Pi$ . Если она увеличивается, то вязкость продолжает падать, но уже не так резко (см. рис. 1, а). Уменьшение  $\Pi$  приводит к возрастанию  $\eta$ , причем чем сильнее падение, тем резче рост (см. рис. 1, б, в). Локальный максимум вязкости (см. рис. 1, г) обусловлен описанным выше небольшим возрастанием пористости и последующим ее падением за зоной реакции.

Во всех приведенных на рис. 1 случаях волна изменения пористости перемещается справа налево со скоростью, равной скорости горения образца, последняя же зависит от величины  $\alpha$ . По аналогии с распространением зоны горения двух последовательных реакций [4, 5] такой режим можно назвать режимом управления, понимая при этом, что скорость уплотнения определяется скоростью горения, которая, в свою очередь, зависит от величины приложенного давления.

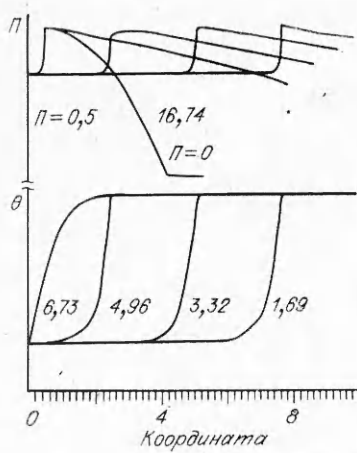


Рис. 2. Пространственные профили температуры и пористости в режиме отрыва. Цифры у кривых — безразмерное время. Дополнительный профиль пористости отвечает времени и состоянию окончания процесса.

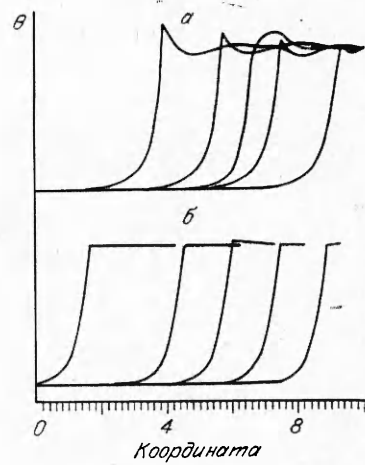


Рис. 3. Стабилизация неустойчивых режимов горения (а) приложением внешнего давления (б).

Однако при достаточно малых  $\chi$  наблюдается режим, изображенный на рис. 2 и по аналогии с [4, 5] названный режимом отрыва. Для него характерно быстрое пробегание по образцу фронта горения и медленное уплотнение продуктов горения. К такому режиму начиная с некоторого момента времени могут быть применены ранее полученные результаты по изотермическому горячему прессованию с однородной [6] или неоднородной пористостью [2].

Один из интересных вопросов, ответ на который находится только в результате численных экспериментов, — расчет скорости распространения пространственных профилей температуры, пористости, вязкости и сопоставления их со скоростью перемещения верхнего торца образца и скоростью предельно уплотненного слоя.

Многочисленные расчеты показали, что координата минимума вязкости совпадает с координатой температурного фронта и перемещается с ней с одинаковой скоростью. В то же время координата верхнего края образца отстает от них по скорости. Наибольшая величина отставания наблюдается при малых  $\chi$ , с его ростом эти значения сближаются. Отставание уплотнения материала по сравнению с его горением означает, что процесс прессования горящей порошковой заготовки всегда нестационарен: если начало координат поместить на ее верхний торец, то фронт горения всегда будет «убегать» от него.

В [1] в рамках квазистационарного подхода показано, что один из механизмов повышения скорости горения в условиях прессования можно записать в виде  $N \rightarrow \Pi \rightarrow \lambda - \omega$  (давление вызывает уменьшение пористости, что влечет за собой рост коэффициента теплопроводности и соответствующий рост скорости горения). Однако там же показано, что этот механизм не единственный, о чем свидетельствовало расхождение при больших  $\chi$  теоретической и расчетной зависимости  $\Omega(\chi)$  в отсутствие зависимости  $\lambda(\Pi)$  (см. [1], рис. 3).

Неединственность описанного механизма влияния давления на скорость горения подтверждается и другими расчетами, в частности, обнаружением факта стабилизации неустойчивых режимов горения приложением внешнего давления. На рис. 3 приведены расчеты температурных профилей для  $\beta = 0,15$  и  $\gamma = 0,17$  из области неустойчивого горения. Для данных значений параметров условие устойчивости [5]

$$9,1\gamma - 2,5\beta > 1$$

не выполняется. Приложение внешнего давления  $\chi = 0,4$  приводит к

сглаживанию не только амплитуды колебаний, но и их частоты.

Возможно, что предполагаемый механизм связан с нестационарными особенностями протекания процесса и здесь приложение внешнего постоянного во времени давления играет свою стабилизирующую роль, сначала в отношении гидродинамических переменных  $u$ ,  $\rho$ , а затем и остальных. Расчеты показали слабое влияние таких факторов, как  $\delta$ ,  $n$ ,  $t$  и  $k$ . Они лишь незначительно изменяют полученные результаты. Тем самым сформулированная модель (1) — (8) и ее квазистационарное приближение учитывают наиболее важные факторы рассматриваемого процесса, что позволило проанализировать условия существования и распространения различных типов волн изменения пористости и нестационарные особенности взаимного влияния волн горения и уплотнения.

Отметим, что сама задача родилась как попытка выявить причину повышения скорости горения нагруженных внешним давлением таблеток, состоящих в основном из порошков молибдена и кремния [8]. Приятной неожиданностью было появление в одном сборнике работ [9] и [10]. В последней опубликованы не только количественные экспериментальные данные по зависимости скорости горения системы Mo + Si от внешнего давления, но и эксперименты по стабилизации неустойчивого горения приложением внешнего давления. Результаты настоящей работы находят тем самым свое экспериментальное подтверждение.

Независимо от указанных работ и практически в то же самое время интерес к данной проблеме проявлен авторами [11—13], которые получили интересные результаты по поведению скорости стационарного горения при макроструктурных превращениях в реакционной смеси и различных механизмах реологического поведения продуктов горения в реакционной зоне.

#### ЛИТЕРАТУРА

1. Бучацкий Л. М., Худяев С. И., Шкадинская Г. В. Распространение волн горения по порошковому материалу в условиях прессования // ФГВ.—1992.—28, № 1.—С. 58.
2. Бучацкий Л. М., Столин А. М., Худяев С. И. Кинетика изменения распределения плотности при горячем прессовании вязкого пористого тела // Порошковая металлургия.—1986.—№ 9.—С. 37—42.
3. Ивлиева Т. П., Шкадинский К. Г. Алгоритмы построения первоначальной адаптирующейся к решению расчетной сетки // Информационный бюл. Госфонда алгоритмов и программ СССР.—1979.—№ 1.—С. 18—19.
4. Хайкин Б. И., Филоненко А. К., Худяев С. И. Распространение пламени при прохождении в газе двух последовательных реакций // ФГВ.—1968.—4, № 4.—С. 591—599.
5. Merzhanov A. G., Khaikin B. I. Theory of combustion waves in homogeneous media // Prog. Energy Combust.—1988.—14.—Р. 1—98.
6. Ковальченко М. С. Теоретические основы горячей обработки пористых материалов давлением.—Киев: Наук. думка, 1980.—240 с.
7. Шкадинский К. Г., Хайкин Б. И., Мержанов А. Г. Распространение цульсирующего фронта экзотермической реакции в конденсированной фазе // ФГВ.—1971.—7, № 1.—С. 19—28.
8. Булаев А. М., Веденеев С. В., Бучацкий Л. М. и др. О механизме структурных превращений в многокомпонентной системе при гетерогенном горении // Там же.—1990.—26, № 3.—С. 79—83.
9. Бучацкий Л. М., Худяев С. И., Шкадинская Г. В. Распространение фронта горения и уплотнения в порошковом материале в условиях прессования // Химическая физика горения и взрыва. Проблемы горения и взрыва: Материалы IX Всесоюз. симп. по горению и взрыву.—Черноголовка, 1989.—С. 15—18.
10. Саркисян А. Р., Саркисян М. М., Харатян С. Л. и др. Особенности горения смесей порошков молибдена с кремнием при приложении давления // Там же.—С. 14—15.
11. Смоляков В. К. К теории горения безгазовых систем в условиях действия постоянной нагрузки // ФГВ.—1989.—25, № 5.—С. 69—74.
12. Смоляков В. К. О макроструктурных изменениях при горении безгазовых смесей в пресс-формах // Там же.—1990.—26, № 2.—С. 73—79.
13. Смоляков В. К. Макроструктурные превращения в процессах безгазового горения // Там же.—№ 3.—С. 55—61.

н. Черноголовка

Поступила в редакцию 23/IV 1991,  
после доработки — 28/VIII 1991